Liebigs Ann. Chem. 1982, 1907 - 1919

Synthetische Anthracyclinone, XXI<sup>1)</sup>

# Synthese des 3-Desmethoxyaranciamycinons

Karsten Krohn \* und Erwin Broser

Institut für Organische Chemie der Technischen Universität Braunschweig, Schleinitzstraße, D-3300 Braunschweig

Eingegangen am 4. Mai 1982

Die intramolekulare Wittig-Reaktion des Ylids 8b führt zum Dihydronaphthacen 9b, das durch cis-Hydroxylierung und Pyridiniumchlorochromat-Oxidation zum Ketol 16 umgewandelt werden kann. Eine Hydroxygruppe an C-4 kann entweder durch Bromierung – gefolgt von Behandlung mit verdünntem Alkali – oder durch direkte basenkatalysierte Hydroxylierung eingeführt werden und liefert mit hoher Stereoselektivität das 2,4-cis-Diol 18. Die Reaktion der Bromierungsprodukte 17a/17b mit Silber-trifluormethansulfonat ergibt hauptsächlich das epimere 2,4-trans-Diol 19 (3-Desmethoxyaranciamycinon) neben geringeren Mengen 18 und dem Eliminierungsprodukt 20.

#### Synthetic Anthracyclinones, XXI<sup>1)</sup>. - Synthesis of 3-Demethoxyaranciamycinone

The intramolecular Wittig reaction of the ylide **8b** leads to the dihydronaphthacene **9b** which can be transformed into the ketol **16** by *cis*-hydroxylation and pyridinium chlorochromate oxidation. A hydroxy group at C-4 can be introduced either by bromination followed by treatment with diluted alkali or by direct base catalysed hydroxylation leading to the **2,4**-*cis*-diol **18** with high stereoselectivity. The reaction of the bromination products **17a/17b** with silver trifluoromethane-sulfonate predominately yields the epimeric **2,4**-*trans*-diol **19** (3-demethoxyaranciamycinone) besides minor amounts of **18** and the elimination product **20**.

Das Anthracyclin-Antibiotikum Aranciamycin (1a) wurde erstmals von Zähner <sup>2)</sup> und Mitarbeitern aus dem Kulturmedium von Streptomyces echinatus isoliert. In Zusammenarbeit mit der Arbeitsgruppe von Keller-Schierlein <sup>2)</sup> konnten 1970 die wichtigsten Strukturmerkmale einschließlich der Zuckerkomponente 2-O-Methyl-L-rhamnose <sup>3)</sup> mitgeteilt werden. Offen blieb zunächst die Konfiguration des hochsubstituierten hydroaromatischen Ringes A mit nur zwei direkt gebundenen Protonen, was <sup>1</sup>H-NMR-spektroskopische Untersuchungen erschwerte. Erst kürzlich konnte die absolute Konfiguration gemäß der Formel 1a durch Röntgenstrukturanalyse und CD-Messungen von Sheldrick und Zeeck <sup>4)</sup> aufgeklärt werden.

Im Vergleich zu den schon länger bekannten Rhodomycinonen<sup>5)</sup> oder dem Daunomycinon<sup>6)</sup> weist **1b** eine Reihe von Besonderheiten auf. Aranciamycinon (**1b**) und die analoge 9-Methoxy-Verbindung Steffimycinon<sup>7)</sup> (**2**) sind die einzigen bekannten Anthracyclinone mit einer Ketogruppe an C-1 und Methoxygruppe an C-3<sup>8)</sup>. Ungewöhnlich ist auch die *trans*-Anordnung der Hydroxygruppen an C-2 und C-4 sowie die im Kristall und auch in Lösung aufgefundene Konformation mit axialer Methylgruppe (Formel **I**)<sup>4)</sup>.

<sup>©</sup> Verlag Chemie GmbH, D-6940 Weinheim, 1982 0170 – 2041/82/1010 – 1907 \$ 02.50/0

Auch die von Zähner et al. 2) sowie von Ogilvie und Kersten 9) untersuchten biologischen Aktivitäten sind bemerkenswert. Nicht nur das Glycosid 1a sondern auch das Aglycon hemmt das Wachstum insbesondere von gram-positiven Bakterien. Es wurde nachgewiesen, daß sowohl die Protein- als auch die RNA-Synthese gehemmt wird 9).

Wir berichten jetzt erstmals über die Synthese von 1-Oxoanthracyclinen, wobei das 3-Desmethoxyaranciamycinon (19) und die an C-4 epimere Verbindung 18 die ersten Syntheseziele darstellten.

#### Synthese offenkettiger Vorstufen

Das synthetische Problem liegt in der regioselektiven Verknüpfung des 1,8-Dihydroxy-9,10-anthrachinons mit dem hochsubstituierten hydroaromatischen Ring A. In einer vorangegangenen Mitteilung hatten wir die Grundgedanken unseres Synthesekonzepts und auch die Herstellung des chlormethylierten Chrysophanolethers 3 aus Juglon ausführlich beschrieben 10). Nach diesem flexiblen Verfahren lassen sich durch Variation des Nucleophils bei der Alkylierung mit demselben Baustein 3 Anthrachinone mit verschiedenen Seitenketten herstellen. Zur Synthese der Anthracyclinone mit Methylseitenkette wurde das "Benzylchlorid" 3 jetzt nicht mit 3-Oxovalerianester 10) sondern mit Acetessigester zum Ketoester 4 (95%) umgesetzt. Nach Verseifung und Decarboxylierung von 4 erhielt man das Keton 5a in 96proz. Ausbeute. Es erwies sich später als zweckmäßig, den als Schutzgruppe eingeführten Methylether bereits auf dieser Stufe durch Behandlung mit Aluminiumchlorid zum Bisphenol 5b zu spalten.

Die nächste synthetische Aufgabe war die selektive Funktionalisierung der Methylgruppe. Dazu mußte die benzylständige Methylengruppe in o-Stellung zur Phenolgruppe sterisch abgeschirmt werden. Das gelang durch Überführung von 5a und 5b in die entsprechenden Pivaloate 5c und 5d. Diese Methode hatte sich schon bei der Bromierung analoger Verbindungen 10) gut bewährt. Wir fanden jetzt, daß die Carbonylgruppe bei der lichtinduzierten Bromierung mit N-Bromsuccinimid nicht durch Acetalisierung geschützt zu werden brauchte. Dadurch wurde die Synthese um zwei Stufen verkürzt und man erhielt direkt die Bromide 6a und 6b in 79 bis 84proz. Ausbeute.

### Cyclisierungsversuche

Mit den Bromiden 6a und 6b standen zwei Vorstufen für Cyclisierungsversuche zur Verfügung. Das Monopivaloat 6a wurde zunächst in Analogie zum beschriebenen Verfahren 10) mit aktiviertem Magnesium zum tetracyclischen Carbinol 10 umgesetzt (42%). Der tertiäre Alkohol 10 ließ sich mit Aluminiumchlorid unter gleichzeitiger Spaltung des Methylethers zum angestrebten Olefin 9c dehydratisieren 10,11). Parallel zu diesen Untersuchungen wurde jedoch nach noch direkteren Wegen zu den Olefinen 9a – c gesucht. Es sollte geprüft werden, ob sich die aus 6a und 6b leicht herstellbaren Phosphoniumbromide 7a und 7b nach Wittig zu 9a und 9b cyclisieren lassen. Als Nebenreaktion war außer der Addition der nucleophilen Ylide 8a oder 8b an die Carbonylgruppen des Chinons eine in stark basischem Medium leicht eintretende Aromatisierung 12) der Dihydronaphthacenchinone 9a oder 9b zu befürchten. Zur Vermeidung der Aromatisierung schien eine milde Phasentransfer-Methode zur Deprotonierung von Phosphoniumsalzen mit Kaliumcarbonat 13) Aussichten zu bieten.

a: 
$$R^1 = CH_3$$
;  $R^2 = Piv$   
b:  $R^1 = R^2 = Piv$   
c:  $R^1 = R^2 = 11$  Piv = COC(CH<sub>3</sub>)<sub>3</sub>

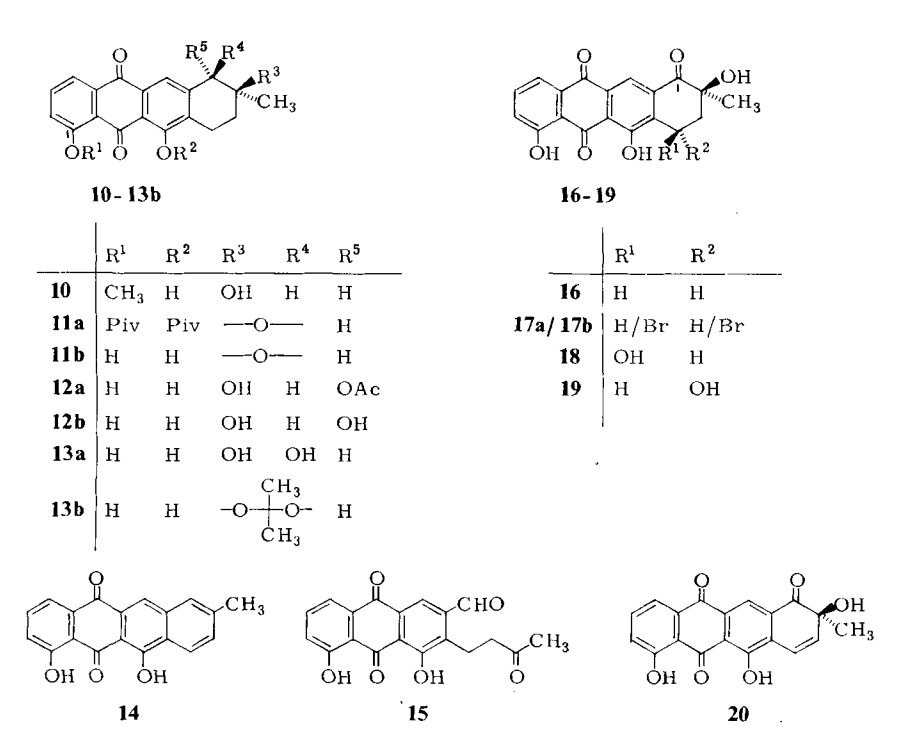
Das Phosphoniumbromid 7a wurde durch Kochen von 6a mit Triphenylphosphan in trockenem Tetrahydrofuran erzeugt und ohne Isolierung mit Kaliumcarbonat und [18]Krone-6 behandelt. Die Bildung des Ylids 8a zeigte sich durch sofortige Blaufärbung der Reaktionslösung an. Das resonanzstabilisierte Ylid 8a war jedoch so wenig reaktiv, daß die intramolekulare Olefinierung erst nach fünfstündigem Kochen beendet war. Nach diesem einfachen Eintopfverfahren, das auch leicht auf größere Maßstäbe übertragen werden kann, erhielt man neben 9a analog auch 9b in etwa 70proz. Ausbeute ausgehend von den Bromiden 6a und 6b. Offenbar reagieren stabilisierte Ylide unter diesen Bedingungen nur in untergeordnetem Maße mit den Chinongruppen des Anthrachinons und die Wittig-Reaktion bietet deshalb auch in der Anthracyclinon-Chemie hervorragende Möglichkeiten.

# Einführung der funktionellen Gruppen in den Ring A

Durch die Anwendung der Wittig-Reaktion stand genug Material für eine Serie von Untersuchungen zur Einführung von funktionellen Gruppen in den Ring A zur Verfügung. Die Epoxidierung von 9b mit m-Chlorperbenzoesäure lieferte glatt das Epoxid 11a. Es war von Interesse, die Stereochemie der Ringöffnung von 11a zu untersuchen, da in der Citromycin-Serie (mit periständiger Phenolgruppe) die Öffnung zu einem cis-Diol mit 0.1 N NaOH beobachtet wurde<sup>1)</sup>. Erwartungsgemäß ließ sich das Epoxid 11a unter diesen milden Bedingungen auch bei längeren Reaktionszeiten nicht öffnen und lediglich die Verseifung zu 11b wurde beobachtet. Damit war gezeigt, daß zur raschen Öffnung benzylständiger Epoxide in schwach basischem Medium die Anwesenheit der periständigen Phenolgruppe notwendig ist. Die Umsetzung von 11b mit Natriumacetat in Eisessig lieferte dagegen das Monoacetat 12a des trans-Diols 12b.

Von besonderer Bedeutung für die weitere Synthese war die cis-Hydroxylierung von 9c mit Osmiumtetroxid/Natriumchlorat. Neben geringen Mengen (3 – 6%) des aromatischen Naphthacenchinons 14 wurde das cis-Diol 13a (etwa 40%) und in ähnlichen Mengen das Ketol 16 isoliert. Das schwerlösliche polare cis-Diol 13a ließ sich durch Überführung in das leichter lösliche unpolare Acetonid 13b charakterisieren. Mit dem trans-Diol 12b ließ sich unter den gleichen Bedingungen keine Bildung eines Isopropylidenethers nachweisen.

Um die Trennung der Produkte 13a, 14 und 16 zu umgehen, wurde das Gemisch mit Pyridinium-chlorochromat (PCC) in Dichlormethan behandelt. Die Ausbeute an dem



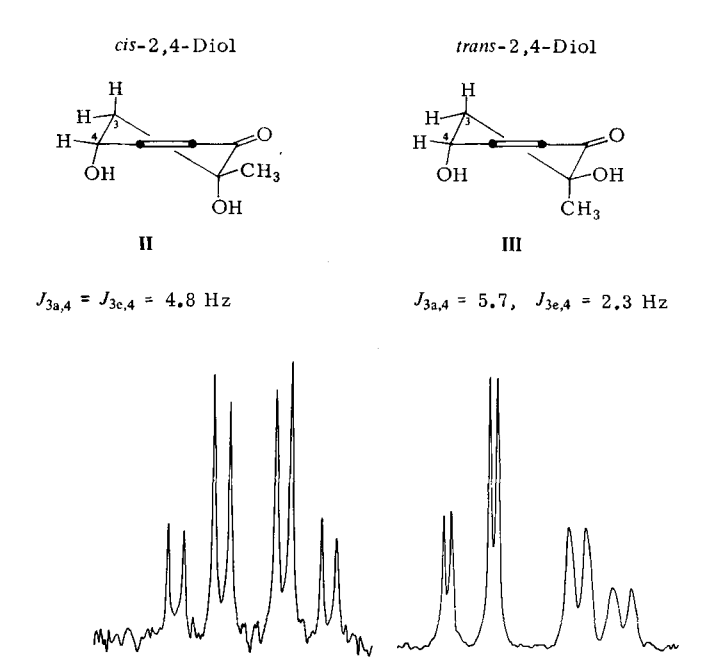
Liebigs Ann. Chem. 1982

erwünschten Ketol 16 wurde jedoch durch die Bildung des offenkettigen Ketoaldehyds 15 herabgesetzt, der bei der Oxidation des *cis*-Diols 13a unter C – C-Spaltung als Nebenprodukt entstanden war.

Nach Pufferung des Reaktionsmediums mit Natriumhydrogencarbonat ließ sich die Bildung von 15 vermeiden und das gesuchte Ketol 16 wurde neben 7% 14 in 73proz. Ausbeute isoliert.

Zur Einführung einer Hydroxygruppe an C-4 wurde zunächst der Weg über die lichtinduzierte Bromierung von 16 zu einem Gemisch äußerst labiler Bromide 17a/17b beschritten. Aus dem <sup>1</sup>H-NMR-Spektrum des Rohprodukts konnte durch Integration im Bereich der Phenolprotonen auf ein Isomerenverhältnis von etwa 3:1 geschlossen werden. In zahlreichen ähnlichen Fällen mit Ethylseitenkette und ohne Ketogruppe im Ring A wurde beim Austausch des Broms mit verdünnter Natronlauge ausschließlich die Bildung von cis-Diolen beobachtet <sup>10,14)</sup>. Die Bromide 17a/17b mit einem sp<sup>2</sup>-hybridisierten C-Atom an C-1 und Methylseitenkette lieferten unter diesen Bedingungen ein Gemisch zweier polarer Diole im Verhältnis von etwa 10:1. Nur das Hauptprodukt bildete mit Phenylboronsäure einen labilen, chromatographisch unpolaren cyclischen Komplex; ersterem muß deshalb die Konstitution des cis-Diols 18 zukommen. Nach Betrachtungen an Molekülmodellen überrascht dieses Ergebnis nicht, da die Methylgruppe in jeder möglichen Konformation eine Seite des Moleküls bevorzugt gegen den Angriff des Hydroxid-Anions abschirmt (zu Vorstellungen über den Mechanismus als Eliminierungs-Additionsreaktion siehe Lit. <sup>10,15)</sup>).

AB-TEIL des ABX-Spinsystems der Protonen in Position 3 und 4 (1H-NMR, CDC1<sub>3</sub>, 400 MHz)



Liebigs Ann. Chem. 1982

Zu einem interessanten Ergebnis führte die Konformationsanalyse der epimeren Diole 18 und 19 durch <sup>1</sup>H-NMR-Spektroskopie. Die Abbildung zeigt jeweils den Ausschnitt des AB-Teils des ABX-Signals für die Protonen an C-3 und C-4. Da in keinem der Spektren eine Kopplung für *trans*-diaxiale Protonen beobachtet wurde, muß das 2,4-cis-Diol 18 bevorzugt in einer Konformation mit äquatorialer Methylgruppe (II) und das 2,4-trans-Diol 19 in einer Konformation mit axialer Methylgruppe (III) vorliegen. Für den Naturstoff 1b (2,4-trans-Diol mit axialer Methoxygruppe an C-3 gemäß Formel 1) wurde ebenfalls für 3-H<sub>e</sub> und 4-H eine Kopplungskonstante von 2.3 Hz ermittelt <sup>4)</sup>.

Frühere Untersuchungen an Methoxycarbonyl-substituierten Anthracyclinonen wie  $\epsilon$ -Rhodomycinon <sup>15)</sup> und 4-Desoxy- $\epsilon_1$ -rhodomycinon <sup>16)</sup> regten jedoch zu Untersuchungen über eine direkte basenkatalysierte Hydroxylierung auch bei 1-Oxoanthracyclinonen an. Nach unseren Vorstellungen <sup>16)</sup> ist die leichte Deprotonierbarkeit einer der Benzylstellungen eine Voraussetzung für die direkte basenkatalysierte Hydroxylierung, die bisher auch bei Verbindungen ohne aktivierende Methoxycarbonylgruppe in Benzylstellung fehlgeschlagen ist. Nach diesen Modellvorstellungen sollte 16 mit Basen leicht zu IV deprotonierbar sein. IV kann als Michael-Acceptor fungieren, wie deutlicher an der mesomeren Form V zu erkennen ist. Die (reversible) Addition von Hydroxid-Ionen führt zum Addukt VI, das durch Luftoxidation zum isolierbaren Diol 18 stabilisiert wird. Daß bei der direkten basenkatalysierten Hydroxylierung ein *ionischer* Mechanismus abläuft, wurde durch die alternative Addition anderer Nucleophile wie Methoxid-Anionen gestützt <sup>16)</sup>.

Zu unserer Überraschung trat die Reaktion bei der Behandlung von 16 mit Triton B (in der Hydroxid-Form) in Pyridin so rasch ein, daß zur Vermeidung von teilweiser Zersetzung unter Eiskühlung gearbeitet werden mußte. Die Ausbeuten an 2,4-cis-Diol 18 lagen mit 61 – 67% in ähnlicher Größenordnung wie beim stufenweisen Weg über die Bromide 17a/17b. Die Stereoselektivität der direkten Hydroxylierung war jedoch noch höher und das trans-Diol 19 wurde in maximal 3proz. Ausbeute isoliert.

Um das Verhältnis der epimeren Diole durch einen Wechsel im Mechanismus der Austauschreaktion zu ändern, wurden die Bromide 17a/17b erst mit Silber-trifluormethansulfonat (Silbertriflat) in Dimethylsulfoxid behandelt und anschließend mit ver-

dünnter Natronlauge verseift. Unter diesen Bedingungen war das polare *trans*-Diol 19 das Hauptprodukt (37%) neben 19% *cis*-Diol 18. Daneben bildete sich ein orangefarbener dritter Stoff (27%), dem nach den spektroskopischen Daten die Konstitution des Olefins 20 zukommt. Bei höherer Reaktionstemperatur (60°C) stabilisierte sich das durch Silber-Ionen induzierte benzylische Carbenium-Ion vermehrt zum Olefin 20 (60%). Das Produktverhältnis ließ sich auch durch Verwendung von Silbersalzen mit unterschiedlich nucleophilen Gegen-Ionen beeinflussen. Mit Silber-trifluoracetat (in Gegenwart von Trifluoressigsäure) wurde keine Eliminierung beobachtet, und es wurden 18 und 19 in 32- bzw. 37proz. Ausbeute isoliert. Bei Verwendung von Silberfluorid erhielt man dagegen fast ausschließlich das Olefin 20 (64%). Damit war auch dieses gut zugänglich geworden, was die Chance bietet, durch Einführung von Substituenten an C-3 zum Naturstoff 1b zu gelangen.

## Experimenteller Teil

Schmelzpunkte (unkorrigiert): Büchi-Schmelzpunktsgerät 510. – UV-Spektren (in Methanol): Beckman-Spektralphotometer UV 5230. – IR-Spektren (als KBr-Preßlinge): Perkin-Elmer-Gerät 157 G. – <sup>1</sup>H-NMR-Spektren (in CDCl<sub>3</sub>, Tetramethylsilan als innerer Standard): Bruker HFX 90, WH 270 und WH 400. – Massenspektren: Varian-MAT-Gerät CH 7 (70 eV). – Schichtchromatographie: 1 mm Kieselgel 60 (Schleicher & Schüll). Die charakteristischen Carbonylbanden in den IR-Spektren der substituierten Anthrachinone erschienen für chelierte Chinone zwischen 1620 – 1630 cm<sup>-1</sup> und für nicht chelierte zwischen 1660 – 1675 cm<sup>-1</sup>.

2-[(9,10-Dihydro-1-hydroxy-8-methoxy-3-methyl-9,10-dioxo-2-anthryl)methyl]-3-oxobutter-säure-ethylester (4): Vorschrift für eine analoge Reaktion siehe Lit.  $^{10}$ ). 3.17 g (10.0 mmol) 3 wurden mit 3.60 g (30.0 mmol) Acetessigester umgesetzt. Ausb. 3.94 g (95%), Schmp. 131 °C. – IR: 1736 (Ester), 1713 (C=O), 1664 (Chinon), 1623 cm $^{-1}$  (Chinon, cheliert). – UV:  $\lambda_{max}$  (lg ε) = 227 (4.53), 260 (4.40), 282 Schulter, 418 nm (4.03). –  $^{1}$ H-NMR (90 MHz):  $\delta$  = 1.16 (t, J = 7 Hz; 3 H, CH<sub>2</sub>CH<sub>3</sub>), 2.24 (s; 3 H, CH<sub>3</sub>), 2.45 (s; 3 H, COCH<sub>3</sub>), 3.28 (d, J = 7 Hz; 2 H, Benzyl-H), 4.01 (s; 3 H, OCH<sub>3</sub>), 4.11 (q; 2 H, CH<sub>2</sub>CH<sub>3</sub>), 4.14 (t; 1 H, = CHCH<sub>2</sub>), 7.30 (dd, 1 H, 7-H), 7.53 (s; 1 H, 4-H), 7.69 (t; 1 H, 6-H), 7.91 (dd; 1 H, 5-H), 13.42 (s; 1 H, OH).

C<sub>23</sub>H<sub>22</sub>O<sub>7</sub> (410.4) Ber. C 67.31 H 5.40 Gef. C 67.21 H 5.45

*1-Hydroxy-8-methoxy-3-methyl-2-(3-oxobutyl)-9,10-anthrachinon* (**5a**): Vorschrift für eine analoge Reaktion siehe Lit. <sup>10</sup>). 6.22 g (15.0 mmol) Ketoester **4** wurden mit 300 ml 1 N NaOH verseift, und die Carbonsäure wurde bei 160 °C (20 min) decarboxyliert. Ausb. 4.87 g (96%); Schmp. 192 °C. – IR: 1708 (C = O), 1670 (Chinon), 1630 (Chinon, cheliert). – UV:  $\lambda_{max}$  ( $\log \varepsilon$ ) = 211 (4.50), 259 (4.40), 283 Schulter, 419 nm (4.02). – <sup>1</sup>H-NMR (90 MHz): δ = 2.20 (s; 3 H, CH<sub>3</sub>), 2.45 (s; 3 H, COCH<sub>3</sub>), 2.5 – 2.8 und 2.9 – 3.2 (je m, je 2 H, 2 CH<sub>2</sub>), 4.08 (s; 3 H, OCH<sub>3</sub>), 7.34 (dd; 1 H, 7-H), 7.56 (s; 1 H, 4-H), 7.71 (t; 1 H, 6-H), 7.93 (dd; 1 H, 5-H), 13.34 (s; 1 H, OH).

C<sub>20</sub>H<sub>18</sub>O<sub>5</sub> (338.4) Ber. C 71.00 H 5.36 Gef. C 70.99 H 5.40

1,8-Dihydroxy-3-methyl-2-(3-oxobutyl)-9,10-anthrachinon (5b): Eine Lösung von 4.00 g (11.8 mmol) 5a in 200 ml Dichlormethan wurde portionsweise mit 3.96 g (30.0 mmol) Aluminiumchlorid versetzt und 4 h bei Raumtemp. gerührt (DC-Kontrolle). Man hydrolysierte mit 20 ml 6 n HCl, rührte 30 min und trennte die Phasen. Die wäßrige Phase wurde zur Zerstörung von Aluminium-Komplexen mit 5 n NaOH alkalisch gemacht, nach 10 min erneut angesäuert und mit 100 ml Dichlormethan ausgeschüttelt. Nach Trocknen mit Natriumsulfat wurde das Lösungsmittel i. Vak. verdampft und der Rückstand aus wenig Ether kristallisiert. Ausb. 3.14 g (87%); Schmp.

195 °C. – 1R: 1709 (C=O), 1670 (Chinon), 1624 (Chinon, cheliert), 1593 cm  $^{-1}$  (Aromat). – UV:  $\lambda_{max}$  (lg  $\epsilon$ ) = 206 (4.29), 228 (4.53), 259 (4.42), 290 (4.02), 432 nm (4.09).  $^{-1}$ H-NMR (90 MHz):  $\delta$  = 2.21 (s; 3 H, CH<sub>3</sub>), 2.45 (s; 3 H, COCH<sub>3</sub>), 2.60 – 3.01 (m; 4 H, 2 CH<sub>2</sub>), 7.24 (dd; 1 H, 7-H), 7.57 (s; 1 H, 4-H), 7.63 (t; 1 H, 6-H), 7.75 (dd; 1 H, 5-H), 12.03 (s; 1 H, 8-OH), 12.38 (s; 1 H, 1-OH).  $C_{19}H_{16}O_5$  (324.3) Ber. C 70.36 H 4.97 Gef. C 70.60 H 4.87

1-(2,2-Dimethyl-1-oxopropyloxy)-8-hydroxy-3-methyl-2-(3-oxobutyl)-9, 10-anthrachinon (Monopivaloat) (5c): Eine Lösung von 3.22 g (10.0 mmol) 5a in 30 ml trockenem Pyridin wurde mit 2.69 g (20.0 mmol) Pivaloylchlorid und 1.22 g (10.0 mmol) 4-(Dimethylamino)pyridin versetzt. Nach 24 h wurde auf 100 ml Eis/Wasser gegossen und der Niederschlag nach 3 h bei 0°C abgesaugt. Ausb. 4.03 g (96%); Schmp. 151 °C (Ether). IR: 1745 (Ester), 1721 (C = O), 1678 und 1666 cm<sup>-1</sup> (Chinon). − UV: Siehe 6a. −  $^{1}$ H-NMR (90 MHz):  $\delta$  = 1.46 (s; 9H, C(CH<sub>3</sub>)<sub>3</sub>), 2.14 (s; 3H, CH<sub>3</sub>), 2.44 (s; 3H, COCH<sub>3</sub>), 2.5 − 3.2 (m; 4H, 2 CH<sub>2</sub>), 3.94 (s; 3H, OCH<sub>3</sub>), 7.27 (dd, 1H, 7-H), 7.61 (t; 1H, 6-H), 7.84 (dd; 1H, 5-H), 7.93 (s; 1H, 4-H).

C<sub>25</sub>H<sub>26</sub>O<sub>6</sub> (422.5) Ber. C 71.07 H 6.20 Gef. C 70.97 H 6.10

1,8-Bis(2,2-dimethyl-1-oxopropyloxy)-3-methyl-2-(3-oxobutyl)-9,10-anthrachinon (Dipivaloat) (5d): Analog zur Umsetzung von 5a wurden 3.10 g (10.0 mmol) 5b mit 5.08 g (40.0 mmol) Pivaloylchlorid und 2.44 g (20.0 mmol) 4-(Dimethylamino)pyridin umgesetzt. Ausb. 4.66 g (95%); Schmp. 181 °C. – IR: 1755 (Ester), 1673 (Chinon), 1590 cm $^{-1}$  (Aromat). – UV: Siehe 6b. – 1H-NMR (90 MHz):  $\delta$  = 1.45 [s; 18H, 2 C(CH<sub>3</sub>)<sub>3</sub>], 2.16 (s; 3H, CH<sub>3</sub>), 2.47 (s; 3H, COCH<sub>3</sub>), 2.56 – 3.18 (m; 4H, 2 CH<sub>2</sub>), 7.30 (dd; 1H, 7-H), 7.84 (t; 1H, 6-H), 8.00 (s; 1H, 4-H), 8.18 (dd; 1H, 5-H). C<sub>29</sub>H<sub>32</sub>O<sub>7</sub> (492.6) Ber. C 70.71 H 6.55 Gef. C 70.70 H 6.63

3-Brommethyl-1-(2,2-dimethyl-1-oxopropyloxy)-8-methoxy-2-(3-oxobutyl)-9,10-anthrachinon (6a): 2.12 g (5.00 mmol) 5c wurden analog einer bekannten Vorschrift <sup>10)</sup> mit 1.07 g (6.00 mmol) N-Bromsuccinimid bromiert. Ausb. 1.98 g (79%); Schmp. 169 °C (Ether). – IR: 1743 (Ester), 1708 (C = O), 1674 (Chinon), 1583 cm<sup>-1</sup> (Aromat). – UV:  $\lambda_{max}$  (lg ε): 221 (4.51), 262 (4.55), 377 nm (3.78). – <sup>1</sup>H-NMR (90 MHz): δ = 1.47 (s; 9H, C(CH<sub>3</sub>)<sub>3</sub>), 2.15 (s; 3H, COCH<sub>3</sub>), 2.7 bis 3.2 (m; 4H, 2 CH<sub>2</sub>), 3.95 (s; 3H, OCH<sub>3</sub>), 4.62 (s; 2H, CH<sub>2</sub>Br), 7.28 (dd; 1H, 7-H), 7.63 (t; 1H, 6-H), 7.83 (dd; 1H, 5-H), 8.10 (s; 1H, 4-H).

C<sub>25</sub>H<sub>25</sub>BrO<sub>6</sub> (501.3) Ber. C 59.89 H 5.03 Gef. C 59.74 H 4.87

3-Brommethyl-1,8-bis(2,2-dimethyl-1-oxopropyloxy)-2-(3-oxobutyl)-9,10-anthrachinon (**6b**): Analog einer bekannten Vorschrift <sup>10</sup>) wurden 2.20 g (4.50 mmol) **5d** mit 0.97 g (5.40 mmol) *N*-Bromsuccinimid bromiert. Ausb. 2.17 g (84%); Schmp. 178 °C. – IR: 1757 und 1744 (Ester), 1703 (C = O), 1677 (Chinon), 1592 cm  $^{-1}$  (Aromat). – UV:  $\lambda_{\text{max}}$  (lg ε) = 215 (4.47), 2.60 (4.62), 340 nm (3.85). –  $^{1}$ H-NMR (90 MHz):  $\delta$  = 1.47 (s; 18H, 2 C(CH<sub>3</sub>)<sub>3</sub>), 2.18 (s; 3H, COCH<sub>3</sub>), 2.67 – 3.05 (m; 4H, 2 CH<sub>2</sub>), 4.63 (s; 2H, CH<sub>2</sub>Br), 7.29 (dd; 1H, 7-H), 7.72 (t; 1H, 6-H), 8.18 (s; 1H, 4-H), 8.20 (dd; 1H, 5-H).

C<sub>29</sub>H<sub>31</sub>BrO<sub>7</sub> (571.5) Ber. C 60.95 H 5.47 Gef. C 60.81 H 5.46

9,10-Dihydro-11-(2,2-dimethyl-1-oxopropyloxy)-1-methoxy-8-methyl-5,12-naphthacendion (9a): Eine Lösung von 251 mg (0.50 mmol) 6a wurde in 30 ml trockenem Tetrahydrofuran mit 197 mg (0.75 mmol) Triphenylphosphan 2 h unter Rückfluß gekocht. Es bildete sich ein gelber Niederschlag des Phosphoniumsalzes 7a. Man gab 0.7 g (5.00 mmol) Kaliumcarbonat und 20 mg [18]Krone-6 hinzu und kochte 4 h unter Rückfluß ( $N_2$ , DC-Kontrolle). Nach dem Abkühlen wurde die Reaktionsmischung auf eiskalte verdünnte Salzsäure gegossen, mit Dichlormethan ausgeschüttelt und die organische Phase mit Natriumsulfat getrocknet. Durch Filtrieren über eine kurze Kieselgel-Säule (2 × 10 cm) wurden durch Eluieren mit Dichlormethan zunächst unpolare Begleitstoffe (Triphenylphosphan und Triphenylphosphanoxid) entfernt. Eluieren mit Dichlor-

methan/5% Ether lieferte 151 mg (75%) **9a**; Schmp. 201 °C (Ether). – IR: 1750 (Ester), 1677 (Chinon), 1642 (C = C), 1584 cm<sup>-1</sup> (Aromat). – UV:  $\lambda_{max}$  (lg  $\epsilon$ ) = 217 (4.49), 261 (4.46), 282 (4.39), 385 nm (3.88). – <sup>1</sup>H-NMR (90 MHz):  $\delta$  = 1.49 [s; 9H, C(CH<sub>3</sub>)<sub>3</sub>], 1.95 (s; 3H, CH<sub>3</sub>), 2.13 – 2.49 (m; 2H, 9-H), 2.53 – 3.00 (m; 2H, 10-H), 3.95 (s; 3H, OCH<sub>3</sub>), 6.33 (mc; 1H, 7-H), 7.27 (dd; 1H, 2-H), 7.58 (t; 1H, 3-H), 7.68 (s; 1H, 6-H), 7.82 (dd; 1H, 4-H).

C<sub>25</sub>H<sub>24</sub>O<sub>5</sub> (404.5) Ber. C 74.24 H 5.98 Gef. C 73.97 H 6.06

9,10-Dihydro-8-methyl-1,11-bis(2,2-dimethyl-1-oxopropyloxy)-5,12-naphthacendion (9b): Wie unter 9a beschrieben wurden 2.29 g (4.00 mmol) 6b zu 1.37 g (72%) 9b umgesetzt. Schmp. 196°C (Ether). – IR: 1750 (Ester), 1671 (Chinon), 1641 (C=C), 1589 cm $^{-1}$  (Aromat). – UV:  $\lambda_{\rm max}$  (lg  $\epsilon$ ) = 211 (4.46), 262 (4.43), 293 (4.41), 335 (3.80), 380 nm (3.60). –  $^1$ H-NMR (270 MHz):  $\delta$  = 1.48 und 1.52 [je s; je 9H, 2 C(CH<sub>3</sub>)<sub>3</sub>], 2.00 (s; 3H, CH<sub>3</sub>), 2.33 (t, J = 8.3 Hz; 2H, 9-H), 2.66 (q, 1H, 10-H<sub>a</sub>), 2.92 (q; 1H, 10-H<sub>e</sub>), 6.38 (mc; 1H, 7-H), 7.30 (dd,  $J_{2,3}$  = 8.0,  $J_{2,4}$  = 1.2 Hz; 1H, 2-H), 7.70 (t; 1H, 3-H), 7.78 (s; 1H, 6-H), 8.20 (dd,  $J_{2,4}$  = 1.2,  $J_{3,4}$  = 7.8 Hz; 1H, 4-H).

C<sub>29</sub>H<sub>30</sub>O<sub>6</sub> (474.6) Ber, C 73.40 H 6.37 Gef, C 73.09 H 6.33

9,10-Dihydro-1,11-dihydroxy-8-methyl-5,12-naphthacendion (9c): Eine Lösung von 1.42 g (3.00 mmol) 9b in 70 ml Tetrahydrofuran wurde tropfenweise innerhalb von einer Stunde mit 20 ml 1 n NaOH versetzt und noch 2 h gerührt (DC-Kontrolle). Man säuerte mit 100 ml 0.5 n HCl an und saugte den Niederschlag nach 3 h bei 0°C ab. Ausb. 0.90 g (98%); Schmp. 177°C (Zers.). – IR: 1668 (Chinon), 1649 (C = C), 1619 (Chinon, cheliert), 1591 cm  $^{-1}$  (Aromat). – UV:  $\lambda_{\text{max}}$  (lg  $\epsilon$ ) = 207 (4.74), 227 (4.83), 257 (4.67), 437 nm (4.25).  $^{-1}$ H-NMR (270 MHz):  $\delta$  = 2.01 (s; 3 H, CH<sub>3</sub>), 2.38 (t, J = 8.4 Hz; 2H, 9-H), 2.98 (t, J = 8.4 Hz; 2H, 10-H), 6.34 (mc; 1 H, 7-H), 7.30 (dd,  $J_{2,3}$  = 8.0,  $J_{2,4}$  = 1.2 Hz; 1 H, 2-H), 7.49 (s; 1 H, 6-H), 7.66 (t; 1 H, 3-H), 7.82 (dd,  $J_{2,4}$  = 1.2,  $J_{3,4}$  = 7.6 Hz; 1 H, 4-H), 12.13 (s; 1 H, 1-OH), 12.38 (s; 1 H, 11-OH).

C<sub>19</sub>H<sub>14</sub>O<sub>4</sub> (306.3) Ber. C 74.50 H 4.61 Gef. C 74.68 H 4.43

7,8,9,10-Tetrahydro-8,11-dihydroxy-1-methoxy-8-methyl-5,12-naphthacendion (10): Analog einer in Lit.  $^{10}$ ) angegebenen Vorschrift wurden 50 mg (0.10 mmol) 6a mit aktiviertem Magnesium zu 14 mg (42%) 10 cyclisiert. Schmp.  $202\,^{\circ}$ C. – IR: 1667 (Chinon), 1622 (Chinon, cheliert), 1582 cm  $^{-1}$  (Aromat). –  $^{1}$ H-NMR (400 MHz):  $\delta$  = 1.40 (s; 3 H, CH<sub>3</sub>), 1.81 (mc; 1 H, 9-H<sub>a</sub>), 1.97 (mc; 1 H, 9-H<sub>e</sub>), 2.93 (m; 4 H, 2 CH<sub>2</sub>), 4.08 (s; 3 H, OCH<sub>3</sub>), 7.35 (dd,  $J_{2,4}$  = 1.1,  $J_{2,3}$  = 8.4 Hz; 1 H, 2-H), 7.50 (s; 1 H, 6-H), 7.74 (t; 1 H, 3-H), 7.96 (dd,  $J_{2,4}$  = 1.1,  $J_{3,4}$  = 7.6 Hz; 1 H, 4-H), 13.41 (s; 1 H, 11-OH).

1,11-Bis(2,2-dimethyl-1-oxopropyloxy)-7,8,9,10-tetrahydro-7,8-epoxy-5,12-naphthacendion (11a): Eine Lösung von 47 mg (0.10 mmol) 9b und 42 mg 3-Chlorperbenzoesäure in 20 ml Dichlormethan wurde 2 h gerührt, dann zweimal mit verd. Natriumhydrogencarbonat-Lösung gewaschen, mit Natriumsulfat getrocknet und das Lösungsmittel i. Vak. verdampft. Aus Ether kristallisierten 35 mg (72%) Epoxid 11a mit Schmp. 193 °C. – IR: 1750 (Ester), 1676 (Chinon), 1591 (Aromat), 1290 und 826 cm<sup>-1</sup> (Epoxid). – <sup>1</sup>H-NMR (90 MHz):  $\delta$  = 1.45 [s; 9H, C(CH<sub>3</sub>)<sub>3</sub>], 1.47 [s; 9H, C(CH<sub>3</sub>)<sub>3</sub>], 1.57 (s; 3H, CH<sub>3</sub>), 1.89 (mc; 1H, 9-H), 2.20 (mc; 1H, 9-H), 2.56 (mc; 1H, 10-H), 2.76 (mc; 1H, 10-H), 7.31 (dd; 1H, 2-H), 7.71 (t; 1H, 3-H), 8.20 (dd; 1H, 4-H), 8.23 (s; 1H, 6-H).

7,8,9,10-Tetrahydro-1,11-dihydroxy-8-methyl-7,8-epoxy-5,12-naphthacendion (11b): Eine Lösung von 25 mg (0.05 mmol) 11a in 10 ml Tetrahydrofuran wurde mit 2 ml 0.5 N NaOH versetzt und 5 h gerührt. Die Mischung wurde mit verd. Essigsäure neutralisiert, mit 20 ml Dichlormethan ausgeschüttelt und das Lösungsmittel i. Vak. verdampft. Aus wenig Ether kristallisierten 13 mg (80%) 11b mit Schmp. 205 °C. – UV:  $\lambda_{max}$  (lg  $\varepsilon$ ) = 208 (4.58), 230 (4.64), 259 (4.46), 292 (4.01), 434 nm (4.10). – IR: 1671 (Chinon), 1630 (Chinon, cheliert), 1589 (Aromat), 1290 und 835 cm<sup>-1</sup> (Epoxid). – <sup>1</sup>H-NMR (270 MHz):  $\delta$  = 1.56 (s; 3H, CH<sub>3</sub>), 1.81 (ddd,  $J_{gem}$  = 14.2,

Liebigs Ann. Chem. 1982

 $J_{9a,10a} = 12.6$ ,  $J_{9a,10e} = 5.8$  Hz; 9a-H), 2.37 (dd,  $J_{gem} = 14.2$ ,  $J_{9e,10a} = 6.8$  Hz; 1H, 9-H<sub>e</sub>), 2.51 (ddd,  $J_{gem} = 16.6$ ,  $J_{9a,10a} = 12.6$ ,  $J_{9e,10a} = 6.8$  Hz; 1H, 10-H<sub>a</sub>), 3.12 (dd,  $J_{gem} = 16.6$ ,  $J_{9a,10e} = 5.8$  Hz; 1H, 10-H<sub>e</sub>), 3.77 (s; 1H, 7-H), 7.33 (dd,  $J_{2,3} = 8.4$ ,  $J_{2,4} = 1.2$  Hz; 1H, 2-H), 7.71 (dd,  $J_{2,3} = 8.4$ ,  $J_{3,4} = 7.6$  Hz; 1H, 3-H), 7.86 (dd,  $J_{2,4} = 1.2$ ,  $J_{3,4} = 7.6$  Hz; 1H, 4-H), 7.89 (s; 1H, 6-H), 12.09 (s; 1H, 1-OH), 12.37 (s; 1H, 11-OH).

r-7-Acetoxy-7,8,9,10-tetrahydro-1,t-8,11-trihydroxy-c-8-methyl-5,12-naphthacendion (12a): Eine Lösung von 19 mg (0.06 mmol) 11b und 500 mg Natriumacetat in 5 ml Eisessig wurde 3 h bei 80 °C gerührt (DC-Kontrolle). Man goß auf 50 ml Eis/Wasser, extrahierte zweimal mit je 20 ml Dichlormethan, wusch die organische Phase zweimal mit 50 ml Wasser und anschließend mit verd. Natriumhydrogencarbonat-Lösung. Die Lösung wurde mit Natriumsulfat getrocknet und i. Vak. zur Trockene eingeengt. Aus wenig Ether kristallisierten 17 mg (78%) 12a mit Schmp. 250 °C. – IR: 1742 (Ester), 1665 (Chinon), 1621 (Chinon, cheliert), 1568 cm $^{-1}$  (Aromat). – UV:  $\lambda_{\rm max}$  (lg  $\epsilon$ ): = 207 (4.19), 228 (4.52), 258 (4.38), 289 (3.92), 432 nm (4.04).

7,8,9,10-Tetrahydro-1,r-7,t-8,11-tetrahydroxy-c-8-methyl-5,12-naphthacendion (12b): Eine Lösung von 10 mg 12a in 5 ml Tetrahydrofuran wurde mit 1 ml 1 n NaOH versetzt und 2 h unter Stickstoff gerührt. Nach dem Ansäuern mit 1 n HCl wurde die Lösung mit 20 ml Dichlormethan extrahiert, das Lösungsmittel i. Vak. verdampft und der Rückstand aus Ether kristallisiert. Ausb. 8 mg (90%); Schmp. 234°C. – IR: 3420 (OH), 1662 (Chinon), 1620 (Chinon, cheliert), 1595 cm<sup>-1</sup> (Aromat). –  $^{1}$ H-NMR (400 MHz):  $\delta$  = 1.54 (s; 3 H, CH<sub>3</sub>), 2.01 (mc; 1 H, 9-H<sub>a</sub>), 2.11 (mc; 1 H, 9-H<sub>e</sub>), 2.55 (mc; 1 H, 10-H<sub>a</sub>), 2.86 (mc; 1 H, 10-H<sub>e</sub>), 3.05 (s; 1 H, OH), 4.65 (s; 1 H, 7-H), 7.33 (dd; 1 H, 2-H), 7.73 (t; 1 H, 3-H), 7.88 (dd; 1 H, 4-H), 8.09 (s; 1 H, 6-H), 12.15 (s; 1 H, 1-OH), 12.50 (s; 11-OH).

cis-Hydroxylierung des Olefins 9c mit Osmiumtetroxid/Natriumchlorat: Eine Lösung von 306 mg (1.00 mmol) 9c in 30 ml Tetrahydrofuran wurde mit 1 ml einer 1proz. wäßrigen Osmiumtetroxid-Lösung und einer Lösung von 500 mg Natriumchlorat in 3 ml Wasser versetzt und 12 h gerührt. Nach Verdünnen mit 100 ml Wasser wurde dreimal mit je 20 ml Dichlormethan extrahiert, die organische Phase mit Natriumsulfat getrocknet und i. Vak. zur Trockene eingedampft. Der Rückstand wurde mit 5 ml Dichlormethan versetzt; es kristallisierten 86 mg (25%) des schwerlöslichen cis-Diols 13a. Die Mutterlauge wurde an 10 g Kieselgel 60 chromatographiert. Mit Dichlormethan eluierte man 19 mg (6%) 14; mit Dichlormethan/1% Methanol 161 mg (48%) Ketol 16 und mit Dichlormethan/4% Methanol weitere 25 mg (7%) 13a.

7,8,9,10-Tetrahydro-1,r-7,c-8,11-tetrahydroxy-1-8-methyl-5,12-naphthacendion (13a): Schmp. 232 °C. – IR: 1655 (Chinon), 1616 (Chinon, cheliert), 1580 cm  $^{-1}$  (Aromat). – UV:  $\lambda_{max}$  (Ig  $\epsilon$ ) = 207 (4.26), 228 (4.46), 259 (4.38), 288 (3.92), 432 nm (4.04). – MS (232 °C): m/e = 341 (13%, M $^{\oplus}$  + 1), 340 (52, M $^{\oplus}$ ), 322 (86, M $^{\oplus}$  – H<sub>2</sub>O), 306 (100), 304 (39, M $^{\oplus}$  – 2 H<sub>2</sub>O), 291 (54), 280 (42), 279 (73).  $C_{19}H_{16}O_6$  Ber. 340.09468 Gef. 340.09469 (MS)

Acetonid 13b: Eine Lösung von 10 mg cis-Diol 13a in 10 ml trockenem Aceton wurden mit 10 mg p-Toluolsulfonsäure versetzt und 10 h stehengelassen. Das Lösungsmittel wurde i. Vak. verdampft, der Rückstand in 10 ml Dichlormethan aufgenommen und die Lösung mit verd. Natriumhydrogencarbonat-Lösung geschüttelt. Die mit Natriumsulfat getrocknete Lösung wurde über eine kurze Kieselgelsäule filtriert (Dichlormethan). Ausb. 8 mg (72%), Schmp. 163 °C (Ether). – UV:  $λ_{max}$  (lg ε) = 227 (4.57), 258 (4.41), 286 (3.96), 429 nm (4.07). – <sup>1</sup>H-NMR (400 MHz): δ = 1.28 (s; 3H, CH<sub>3</sub>), 1.44 (s; 3H, CH<sub>3</sub>), 1.52 (s; 3H, CH<sub>3</sub>), 1.77 (ddd,  $J_{gem}$  = 13.0,  $J_{3e,4e}$  = 7.4,  $J_{3e,4a}$  = 5.0 Hz; 1H, 3-H<sub>e</sub>), 2.07 (ddd,  $J_{gem}$  = 13.0,  $J_{3a,4a}$  = 8.3,  $J_{3a,4e}$  = 5.0 Hz; 1H, 3-H<sub>a</sub>), 2.76 (ddd,  $J_{gem}$  = 23.0,  $J_{3a,4e}$  = 7.4 Hz; 1H, 4-H<sub>e</sub>), 4.80 (s; 1H, 7-H), 7.33 (dd,  $J_{2,3}$  = 8.4,  $J_{2,4}$  = 23.0,  $J_{3a,4e}$  = 5.0,  $J_{3e,4e}$  = 7.4 Hz; 1H, 4-H<sub>e</sub>), 4.80 (s; 1H, 7-H), 7.33 (dd,  $J_{2,3}$  = 8.4,  $J_{2,4}$  =

1.2 Hz; 1H, 2-H), 7.72 (t; 1H, 3-H), 7.88 (dd,  $J_{2,4} = 1.2$ ,  $J_{3,4} = 7.6$  Hz; 1H, 4-H), 7.96 (s; 1H, 6-H), 12.56 (s; 1H, 11-OH).

1,11-Dihydroxy-8-methyl-5,12-naphthacendion (14): Schmp. 241 °C. − IR: 1670 (Chinon), 1615 (Chinon, cheliert), 1590 cm  $^{-1}$  (Aromat). − UV:  $\lambda_{\rm max}$  (lg ε) = 209 (4.27), 241 (4.58), 259 (4.66), 279 (4.24), 290 (4.24), 451 nm (4.18). −  $^{1}$ H-NMR (270 MHz):  $\delta$  = 2.59 (s; 3 H, CH<sub>3</sub>), 7.30 (dd,  $J_{2,3}$  = 8.4,  $J_{2,4}$  = 0.8 Hz; 1 H, 2-H), 7.53 (dd,  $J_{7,9}$  = 1.3,  $J_{9,10}$  = 8.6 Hz; 1 H, 9-H), 7.68 (t; 1 H, 3-H), 7.76 (d,  $J_{7,9}$  = 1.3 Hz; 1 H, 7-H), 7.89 (dd,  $J_{2,4}$  = 0.8,  $J_{3,4}$  = 7.6 Hz; 1 H, 4-H), 8.10 (s; 1 H, 6-H), 8.40 (d,  $J_{9,10}$  = 8.6 Hz; 1 H, 10-H), 12.36 (s; 1 H, 1-OH), 13.80 (s; 1 H, 11-OH). − MS (200 °C): m/e = 305 (30%, M $^{\oplus}$  + 1), 304 (100, M $^{\oplus}$ ), 276 (4), 252 (4), 247 (5), 219 (4), 202 (5), 189 (7), 152 (9).

C<sub>19</sub>H<sub>12</sub>O<sub>4</sub> (304.3) Ber. C 74.99 H 3.98 Gef. C 74.78 H 3.93

rac-3,4-Dihydro-2,5,7-trihydroxy-2-methyl-1,6,11(2H)-naphthacentrion (16): Schmp. 231 °C. – IR: 3460 (OH), 1697 (C = O), 1670 (Chinon), 1620 (Chinon, cheliert), 1596 cm  $^{-1}$  (Aromat). – UV:  $\lambda_{\text{max}}$  (Ig ε) = 211 (4.31), 240 (4.42), 261 (4.37), 433 nm (4.06).  $^{-1}$ H-NMR (400 MHz): δ = 1.44 (s; 3 H, CH<sub>3</sub>), 2.25 (ddd,  $J_{\text{gem}}$  = 13.5,  $J_{3\text{a},4\text{e}}$  = 5.7,  $J_{3\text{a},4\text{a}}$  = 12.0 Hz; 1H, 3-H<sub>a</sub>), 2.41 (ddd,  $J_{\text{gem}}$  = 13.5,  $J_{3\text{c},4\text{a}}$  = 5.5,  $J_{3\text{c},4\text{e}}$  = 2.3 Hz; 1H, 3-H<sub>e</sub>), 2.93 (ddd,  $J_{\text{gem}}$  = 19.5,  $J_{3\text{a},4\text{a}}$  = 12.0,  $J_{3\text{c},4\text{a}}$  = 5.5 Hz; 1H, 4-H<sub>a</sub>), 3.36 (ddd,  $J_{\text{gem}}$  = 19.5,  $J_{3\text{c},4\text{e}}$  = 2.3,  $J_{3\text{a},4\text{e}}$  = 5.5 Hz; 1H, 4-H<sub>e</sub>), 3.74 (s; 1H, OH), 7.37 (dd,  $J_{8,9}$  = 8.3,  $J_{8,10}$  = 1.2 Hz; 1H, 8-H), 7.77 (t; 1H, 9-H), 7.92 (dd,  $J_{8,10}$  = 1.2,  $J_{9,10}$  = 7.6 Hz; 1H, 10-H), 8.47 (s; 1H, 12-H), 12.00 (s; 1H, 7-OH), 12.58 (s; 1H, 5-OH).

3-Formyl-1,8-dihydroxy-2-(3-oxobutyl)-9,10-anthrachinon (15): Wie oben beschrieben wurden 306 mg 9c mit Osmiumtetroxid/Natriumchlorat umgesetzt, und das Produktgemisch wurde 3 h mit 500 mg Pyridiniumchlorochromat in 40 ml Dichlormethan gerührt. Die Lösung wurde filtriert und an 10 g Kieselgel 60 chromatographiert. Man isolierte mit zunehmender Polarität (Elutionsmittel Dichlormethan): 23 mg 14 (8%), 73 mg 15 mit Schmp. 200 °C (22%) und 166 mg (49%) 16. Bei Zusatz von 2 g Natriumhydrogencarbonat zum Oxidationsansatz wurden 20 mg (7%) 14 und 247 mg (73%) Ketol 16 gewonnen. — IR: 1707 (Keton), 1699 (Aldehyd), 1670 (Chinon), 1624 (Chinon, cheliert), 1594 cm<sup>-1</sup> (Aromat). — UV:  $\lambda_{\text{max}}$  (lg  $\epsilon$ ) = 228 (4.57), 257 (4.37), 289 (3.99), 433 nm (4.08). — ¹H-NMR (270 MHz):  $\delta$  = 2.08 (s; 3 H, COCH<sub>3</sub>), 2.86 (t, J = 7.4 Hz; 2H, CH<sub>2</sub>), 3.45 (t, J = 7.4 Hz; 2H, CH<sub>2</sub>), 7.36 (dd,  $J_{6,7}$  = 8.4,  $J_{5,7}$  = 1.2 Hz; 1H, 7-H), 7.73 (t, 1 H, 6-H), 7.88 (dd,  $J_{5,6}$  = 7.6,  $J_{5,7}$  = 1.2 Hz; 1H, 5-H), 8.27 (s; 1 H, 4-H), 10.46 (s; 1 H, CHO), 11.95 (s; 1 H, 8-OH), 12.59 (s; 1 H, 1-OH). — MS (200 °C): m/e = 338 (19%, M $^{\oplus}$ ), 320 (63), 310 (7, M $^{\oplus}$  — CO), 295 (41, M $^{\oplus}$  — CH<sub>3</sub>CO), 292 (39), 278 (100), 267 (26, M $^{\oplus}$  — C<sub>4</sub>H<sub>7</sub>O), 253 (19), 221 (12), 189 (10), 175 (8), 165 (24).

C<sub>19</sub>H<sub>14</sub>O<sub>6</sub> (338.3) Ber. C 67.45 H 4.17 Gef. C 67.14 H 3.99

Hydroxylierung der Bromide 17a/17b zu 18 und 19

3,4-Dihydro-r-2,c-4,5,7-tetrahydroxy-t-2-methyl-1,6,11(2H)-naphthacentrion (18): Eine Lösung von 101 mg (0.30 mmol) Ketol 16 in 100 ml trockenem Tetrachlormethan wurde mit 80 mg (0.5 mmol) Brom versetzt und bei 40°C unter starkem Rühren mit einer 300-Watt-Lampe bestrahlt. Nach vollständiger Umsetzung des Ausgangsmaterials (etwa 20 min, DC-Kontrolle) wurde i. Vak. zur Trockene eingedampft, der Rückstand in 10 ml Tetrahydrofuran aufgenommen und die Lösung unter starkem Rühren langsam in 30 ml 0.1 N NaOH eingegossen. Die Lösung wurde mit 0.5 N HCl angesäuert, dreimal mit je 50 ml Dichlormethan extrahiert und das Gemisch schichtchromatographisch getrennt (2 Platten, Dichlormethan/2% Methanol; fünffache Entwicklung). Aus der unpolareren Zone wurden 65 mg (61%) 2,4-cis-Diol 18 (Schmp. 239°C, Zers.) und aus der polareren Zone 6 mg (6%) 2,4-trans-Diol 19 (siehe unten) isoliert. – 1R: 1704

(C=O), 1673 (Chinon), 1620 (Chinon, cheliert), 1590 cm  $^{-1}$  (Aromat). – UV:  $\lambda_{max}$  (Ig  $\epsilon$ ) = 210 (4.35), 239 (4.78), 261 (4.33), 436 nm (4.05). –  $^{1}$ H-NMR (400 MHz, CDCl<sub>3</sub>/CD<sub>3</sub>OD):  $\delta$  = 1.46 (s; 3H, CH<sub>3</sub>), 2.43 (dd,  $J_{gem}$  = 14.7,  $J_{3,4}$  = 4.8 Hz; 1H, 3-H), 2.51 (dd,  $J_{gem}$  = 14.7,  $J_{3,4}$  = 4.8 Hz; 1H, 3-H), 5.37 (t, J = 4.8 Hz; 1H, 4-H), 7.37 (dd,  $J_{8,9}$  = 8.4,  $J_{8,10}$  = 1.1 Hz; 1H, 8-H), 7.78 (t; 1H, 9-H), 7.89 (dd,  $J_{8,10}$  = 1.1,  $J_{9,10}$  = 7.6 Hz; 1H, 10-H), 8.46 (s, 1H, 12-H). – MS (200 °C): m/e = 354 (3%, M $^{\odot}$ ), 336 (58, M $^{\odot}$ ) – H<sub>2</sub>O), 321 (32), 320 (100), 308 (81), 296 (12), 295 (35), 294 (76).

Direkte basenkatalysierte Hydroxylierung von 16 zu 18: Eine eisgekühlte Lösung von 101 mg (0.30 mmol) Ketol 16 in 15 ml Pyridin wurde unter Rühren an der Luft mit 2 ml einer 10proz. Lösung von Triton B (Hydroxid-Form) in Pyridin versetzt. Nach vollständiger Umsetzung des Ausgangsmaterials (etwa 20 min, DC-Kontrolle) wurde mit eiskalter 1 n HCl angesäuert, dreimal mit je 50 ml Dichlormethan extrahiert und die organische Phase mit 1 n HCl gewaschen. Nach dem Trocknen der Lösung mit Natriumsulfat wurde auf etwa 5 ml i. Vak. eingeengt. Es kristallisierten 62 mg des cis-Diols 18. Die schichtchromatographische Trennung der Mutterlauge lieferte zusätzlich 6 mg 18 (Gesamtausb. 67%) und 3 mg (3%) 19.

3,4-Dihydro-r-2,1-4,5,7-tetrahydroxy-t-2-methyl-1,6,11(2H)-naphthacentrion (19): Wie unter 18 beschrieben wurden 75 mg (0.22 mmol) Ketol 16 bromiert, und das Tetrachlormethan wurde i. Vak. verdampft. Der Rückstand wurde in 20 ml Dimethylsulfoxid aufgenommen und unter Rühren mit 257 mg (1.00 mmol) Silber-trifluormethansulfonat versetzt. Man goß nach 10 min auf 100 ml destilliertes Wasser und extrahierte die Mischung dreimal mit je 30 ml Dichlormethan. Die vereinigten organischen Phasen wurden 10 min mit 1 N NaOH gerührt, mit 1 N HCl angesäuert. zweimal mit je 100 ml Wasser gewaschen, mit Natriumsulfat getrocknet und i. Vak. zur Trockene eingedampft. Der Rückstand wurde wie oben beschrieben schichtchromatographisch aufgetrennt. Man isolierte mit zunehmender Polarität: 20 mg Olefin 20 (27%, siehe unten), 15 mg (19%) 2,4cis-Diol 18 und 29 mg (37%) 2,4-trans-Diol 19 mit Schmp. 246 °C (Zers.). Wurde die Lösung der Bromide 17a/17b in Dimethylsulfoxid mit 0.5 ml Trifluoressigsäure und 200 mg Silber-trifluoracetat versetzt, so isolicrte man ausgehend von 101 mg 16 34 mg (32%) 18 und 39 mg (37%) 19, -IR: 1703 (C=O), 1667 (Chinon), 1621 (Chinon, cheliert), 1591 cm<sup>-1</sup> (Aromat). - UV: siehe 18. -<sup>1</sup>H-NMR (400 MHz):  $\delta = 1.61$  (s; 3H, CH<sub>3</sub>) 2.50 (dd,  $J_{gem} = 14.7$ ,  $J_{3a,4} = 5.7$ , 1H, 3-H<sub>a</sub>), 2.59 (dd,  $J_{\text{gem}} = 14.7$ ,  $J_{3\text{e},4} = 2.3$  Hz; 1H, 3-H<sub>e</sub>), 3.21 (d, J = 3.0 Hz; 4-OH), 3.52 (s; 1H, 2-OH), 5.46 (q; 1 H, 4-H), 7.39 (dd,  $J_{8,9} = 8.3$ ,  $J_{8,10} = 1.2$  Hz; 1 H, 8-H), 7.79 (t, 1 H, 9-H), 7.93  $(dd, J_{8,10} = 1.2, J_{9,10} = 7.6 \text{ Hz}; 1 \text{ H}, 10 \text{-H}), 11.88 (s; 1 \text{ H}, 7 \text{-OH}), 12.78 (s; 1 \text{ H}, 5 \text{-OH}). - MS$ (200 °C): m/e = 354 (3%, M⊕), 336 (38, M⊕ - H<sub>2</sub>O), 321 (19), 320 (55), 296 (32, M⊕ - $C_3H_6O$ ), 295 (39), 294 (100), 293 (48), 265 (52), 240 (61).

C<sub>19</sub>H<sub>14</sub>O<sub>7</sub> Ber. 354.07394 Gef. 354.07395 (MS)

rac-2,5,7-Trihydroxy-2-methyl-1,6,11(2H)-naphthacentrion (20): Wie oben beschrieben wurden 101 mg Ketol bromiert, und die Lösung der Bromide 17a/17b in Dimethylsulfoxid wurde bei 60°C mit 257 mg Silber-trifluormethansulfonat versetzt, aufgearbeitet und chromatographiert. Neben 3 mg (3%) 18 und 4 mg (4%) 19 wurden 60 mg (60%) des unpolaren Olefins 20 mit Schmp. 219°C isoliert. Eine analoge Umsetzung unter Verwendung von Silberfluorid bei 20°C lieferte 64 mg (64%) Olefin 20. – IR: 1684 (C = O), 1673 (Chinon), 1618 (Chinon, cheliert), 1567 cm  $^{-1}$  (Aromat). – UV:  $\lambda_{\rm max}$  (lg ε) = 207 (4.17), 232 (4.21), 246 (4.17), 269 (4.23), 289 Schulter, 442 nm (4.02). –  $^{1}$ H-NMR (400 MHz): δ = 1.63 (s; 3H, CH<sub>3</sub>), 3.79 (s; 1H, 2-OH), 6.42 (d,  $J_{3,4}$  = 10.2 Hz; 1H, 3-H), 7.30 (dd,  $J_{8,9}$  = 8.3,  $J_{8,10}$  = 1.2 Hz; 1H, 8-H), 7.77 (t; 1H, 9-H), 7.92 (dd,  $J_{9,10}$  = 7.6,  $J_{8,10}$  = 1.2 Hz; 1H, 10-H), 8.11 (d,  $J_{3,4}$  = 10.2 Hz; 1H, 4-H), 8.30 (s; 1H, 12-H), 12.51 (s; 1H, 7-OH), 12.82 (s; 1H, 5-OH).

 $C_{19}H_{12}O_6$  (336.3) Ber. C 67.87 H 3.60 Gef. C 67.50 H 3.58

- 1) XX. Mitteilung: K. Krohn und B. Behnke, Tetrahedron Lett. 1982, 395.
- <sup>2)</sup> W. Keller-Schierlein, J. Sauerbier, U. Vogler und H. Zähner, Helv. Chim. Acta 53, 779 (1970).
- 3) W. Keller-Schierlein und A. Müller, Experientia 26, 929 (1970).
- 4) G. M. Sheldrick und A. Zeeck, unveröffentlichte Ergebnisse.
- 5) H. Brockmann, Fortschr. Chem. Org. Naturst. 21, 121 (1963).
- 6) F. Arcamone, G. Franceschi, R. Mondelli, P. Orezzi und S. Penco, Gazz. Chim. Ital. 100, 949 (1970).
- <sup>7)</sup> R. C. Kelly, I. Schletter, J. M. Koert, F. A. MacKellar und P. F. Wiley, J. Org. Chem. 42, 3591 (1977).
- 8) Die Bezifferung richtet sich nach den IUPAC-Regeln und nicht mehr nach der speziellen Anthracyclinon-Nomenklatur nach Lit. 5).
- 9) A. Ogilvie und W. Kersten in Antibiotics (F. E. Hahn, Ed.), Bd. V/1, S. 250, Springer, Berlin, Heidelberg, New York 1979.
- 10) K. Krohn, Liebigs Ann. Chem. 1981, 2285.
- 11) A. S. Kende und Y. Tsay, J. Chem. Soc., Chem. Commun. 1977, 140.
- 12) K. Krohn und A. Rösner, unveröffentlichte Ergebnisse.
- 13) R. M. Boden, Synthesis 1975, 784.
- 14) K. Krohn und B. Behnke, Chem. Ber. 113, 2994 (1980).
- 15) K. Krohn, Tetrahedron Lett. 1981, 3219.
- <sup>16)</sup> K. Krohn und M. Radeloff, Chem. Ber. 111, 3823 (1978).

[71/82]